

# 阿片类药物对 NG108-15 细胞 $\text{Ca}^{2+}$ /钙调蛋白依赖的蛋白激酶 II 信息通路的作用

郭庆民, 刘景生\*

(中国协和医科大学、中国医学科学院基础医学研究所药理室, 北京 100005)

**摘要:** 目的 观察阿片类依赖时  $\text{Ca}^{2+}$ /钙调蛋白依赖的蛋白激酶 II 信息通路的变化。方法 以 NG108-15 细胞作为体外的细胞模型, 分别用竞争性蛋白结合法及放射免疫法、PDE 法、 $\gamma$ -<sup>32</sup>P 参入法测定 cAMP 水平、钙调蛋白 (CaM) 活性和钙调蛋白依赖的蛋白激酶 II (CaMK II) 活性。结果 DPDPE 作用 NG108-15 细胞 48 h 可使细胞浆和细胞核 CaM 和 CaMK II 活性升高, 该变化可被 CaM 特异性拮抗剂 W-7 所抑制; CaMK II 特异性抑制剂 KN-62 可抑制 CaMK II 活性的增高, 而对 CaM 活性无明显影响。DPDPE 作用 NG108-15 细胞 48 h 后, 加入纳洛酮, CaM 活性、CaMK II 活性进一步增高。结论  $\text{Ca}^{2+}$ /CaMK II 信息通路参与了阿片依赖的机制。

**关键词:** 阿片类药物; 钙调蛋白; 钙调蛋白依赖的蛋白激酶 II

中图分类号: R338; R965

文献标识码: A

文章编号: 0513-4870(2001)09-0652-05

阿片类药物的显著特点是能够引起耐受、依赖和成瘾。而有关阿片依赖的细胞和分子机制仍不清楚, 有关的研究报道尚不多<sup>[1]</sup>。本研究在以往工作的基础上, 研究在阿片依赖时,  $\text{Ca}^{2+}$ /钙调蛋白依赖的蛋白激酶 II (calmodulin dependent protein kinase, CaMK II) 信息通路变化<sup>[1]</sup>。

NG108-15 细胞是一种小鼠神经母细胞瘤和大鼠胶质细胞瘤的杂交细胞株, 表现出一系列神经元的性质, 可以表达  $\delta$  阿片受体 (DOR), CaMK II 及其他的 G 蛋白偶联的受体。在细胞和分子水平研究阿片受体的信号转导过程中, NG108-15 细胞是一有效的工具。

本研究观察 DPDPE 长时程作用 NG108-15 细胞后, 细胞浆和细胞核钙调蛋白 (calmodulin, CaM) 及 CaMK II 活性的变化, 并选择 CaM 特异性拮抗剂 W-7 及 CaMK II 特异性抑制剂 KN-62, 与不同浓度的阿片激动剂同时作用于 NG108-15 细胞, 观察阿片类药物依赖时,  $\text{Ca}^{2+}$ /CaMK II 信息通路活性的变化。

## 材料与方法

### 试剂 D-Pen<sup>2</sup>, D-Pen<sup>2</sup>-enkaphalin, W-7, KN-62,

收稿日期: 2001-3-30.

基金项目: 国家自然科学基金资助项目(39770852).

作者简介: 郭庆民(1973-), 女, 博士研究生;

刘景生(1936-), 男, 教授, 博士生导师.

\* 通讯作者 Tel: (010) 65296403, Fax: (010) 65240529,

E-mail: jsliu@public.bta.net.cn

Naloxone, cAMP 和 CaM 标准, syntide-2, ATP, 活性炭 (100 - 200 目), 苯甲基磺酰氟 (PMSF), 二硫苏糖醇 (DTT), HAT 为 Sigma 公司产品。[ $\gamma$ -<sup>32</sup>P]ATP ( $18.5 \times 10^{13}$  Bq·mmol<sup>-1</sup>) 为亚辉公司产品, <sup>3</sup>H-cGMP ( $81.4 \times 10^{10}$  Bq·mmol<sup>-1</sup>), <sup>3</sup>H-cAMP ( $10.29 \times 10^{11}$  Bq·mmol<sup>-1</sup>) 为原子能所产品, PPO 和 POPOP 为 Fluka 公司产品, Tris 和 Hepes 为 Boehringer Manheim 公司产品, 高糖 DMEM, L-谷氨酰胺购自 Gibco/BRL 公司, 其余为国产分析纯。

细胞为小鼠神经母细胞瘤和大鼠神经胶质瘤杂交瘤 NG108-15 细胞株, 由美国 UCSF Cell Culture Facility 的 Dr. Tuet 惠赠。

**钙调蛋白(CaM)活性测定** (1) 样品制备: 将 NG108-15 细胞以每孔  $2 \times 10^5$  细胞接种于 12 孔培养板。加药处理 48 h 后进行 CaM 测定。全细胞 CaM 样品制备用  $50 \text{ mmol} \cdot \text{L}^{-1}$  Tris-HCl (含  $1 \text{ mmol} \cdot \text{L}^{-1}$  EGTA, pH 7.0) 0.4 mL 稀释, 超声破碎, 取部分进行蛋白测定, 其余  $100^\circ\text{C}$  煮沸 5 min,  $4^\circ\text{C}$  12 000 r·min<sup>-1</sup>, 30 min 离心, 取上清液, 用  $4.5 \text{ mmol} \cdot \text{L}^{-1}$   $\text{CaCl}_2$  进行对半稀释,  $4^\circ\text{C}$  保存。细胞核 CaM 样品制备用 PBS 洗后细胞核提取液 A ( $50 \text{ mmol} \cdot \text{L}^{-1}$  KCl,  $1 \text{ mmol} \cdot \text{L}^{-1}$  PMSF,  $0.1 \text{ mmol} \cdot \text{L}^{-1}$  DTT,  $25 \text{ mmol} \cdot \text{L}^{-1}$  Hepes pH 7.8, 0.5% NP-40) 500  $\mu\text{L}$  加入细胞管, 移液器吹散后, 冰浴放置 4 min, 12 000 r·min<sup>-1</sup> × 1 min, 取沉淀, 加缓冲液 B (不含 NP-40, 其余同 A) 500  $\mu\text{L}$  进行洗涤, 然后加入  $50 \text{ mmol} \cdot \text{L}^{-1}$  Tris-HCl (含 1

$\text{mmol}\cdot\text{L}^{-1}$  EGTA, pH 7.0) 0.4 mL 稀释。其余同全细胞 CaM 样品制备。(2) 活性测定:利用 PDE 法测定<sup>[2]</sup>。加样顺序为 100  $\mu\text{L}$  测定缓冲液( $45 \text{ mmol}\cdot\text{L}^{-1}$  Tris HCl,  $45 \text{ mmol}\cdot\text{L}^{-1}$  咪唑,  $5.5 \text{ mmol}\cdot\text{L}^{-1}$  乙酸镁, pH 7.5),  $20 \mu\text{L}$   $4.5 \text{ mmol}\cdot\text{L}^{-1}$   $\text{CaCl}_2$ (或  $4.5 \text{ mmol}\cdot\text{L}^{-1}$  EGTA),  $10 \text{ u}\text{PDE}$  ( $20 \mu\text{L}$ ),  $100 \mu\text{L}$  calmodulin 样品和  $50 \mu\text{L}$   $^3\text{H}$ cGMP ( $8.0 - 11.4 \times 10^2 \text{ Bq}\cdot\text{min}^{-1}$ )。反应体系置入  $30^\circ\text{C}$  水浴  $15 \text{ min}$ ,  $100^\circ\text{C}$  水浴  $3 \text{ min}$  终止反应。冰浴放置  $15 \text{ min}$ , 加入  $2.5 \text{ mmol}\cdot\text{L}^{-1}$  腺苷  $700 \mu\text{L}$ , 上 QAE-Sephadex A-25 色谱柱, 加  $4 \text{ mL}$   $20 \text{ mmol}\cdot\text{L}^{-1}$  甲酸铵冲洗, 收集  $1 \text{ mL}$  洗脱液, 进行液闪测定。

钙调蛋白依赖的蛋白激酶 II(CaMK II)活性测定 (1) 细胞浆样品 CaMK II 活性测定:细胞浆样品处理基本同 CaM, 不进行煮沸及  $\text{CaCl}_2$  稀释。细胞浆样品测定<sup>[3]</sup>:细胞样品  $10 \mu\text{L}$ , 加入  $50 \mu\text{L}$  反应液中, 反应液包括:  $10 \text{ mmol}\cdot\text{L}^{-1}$   $\text{MgCl}_2$ ,  $20 \text{ mmol}\cdot\text{L}^{-1}$  Tris HCl (pH 7.4),  $20 \mu\text{mol}\cdot\text{L}^{-1}$  syntide-2,  $1 \text{ mg}\cdot\text{mL}^{-1}$  牛血清白蛋白,  $0.1 \text{ mmol}\cdot\text{L}^{-1}$  ATP,  $3.7 \times 10^4 \mu\text{Bq} [^{\gamma-32}\text{P}]$ ATP。总钙调蛋白激酶 II 活性测定加  $1 \text{ mmol}\cdot\text{L}^{-1}$   $\text{CaCl}_2$ ,  $10 \mu\text{g}\cdot\text{mL}^{-1}$  Calmodulin。 $\text{Ca}^{2+}$  非依赖性 CaMK II 活性测定加  $5 \text{ mmol}\cdot\text{L}^{-1}$  EGTA。 $\text{Ca}^{2+}$  依赖性 CaMK II 活性为总 CaMK 活性与  $\text{Ca}^{2+}$  非依赖性 CaMK II 活性之差。CaMK II 活性用每分钟每  $10^5$  细胞参入 syntide-2 的  $^{32}\text{P}$  的 fmol 数表示, 取  $20 \mu\text{L}$  加至滤膜上, 用  $75 \text{ mmol}\cdot\text{L}^{-1}$  磷酸洗 3 次, 乙醇吹干, 液闪仪测定。(2) 细胞核样品 CaMK II 活性测定:细胞核样品处理:基本同 CaM, 不进行煮沸及  $\text{CaCl}_2$  稀释。CaMK II 活性测定<sup>[3]</sup>同上。

cAMP 含量测定 样品制备:每孔  $2 \times 10^5$  细胞接种于 12 孔板。加药处理  $48 \text{ h}$  后直接进行 cAMP 测定。弃培养基, 加入  $0.5 \text{ mL}$  TE buffer ( $50 \text{ mmol}\cdot\text{L}^{-1}$  Tris-HCl,  $4 \text{ mmol}\cdot\text{L}^{-1}$  EDTA, pH 7.5) 终止反应, 用自制刮匙将孔底细胞刮下, 移入  $1.5 \text{ mL}$  Eppendorf 管, 细胞超声破碎仪破碎, 取出部分用于蛋白定量, 余置于  $100^\circ\text{C}$  水浴煮沸  $5 \text{ min}$ ,  $4^\circ\text{C}$   $12000 \times g$  离心  $5 \text{ min}$ , 取上清,  $-20^\circ\text{C}$  保存。cAMP 测定:利用竞争性结合蛋白法测定。

蛋白测定 用牛血清白蛋白作为标准, 利用考马斯亮蓝法进行测定。

统计方法 数据用  $\bar{x} \pm s$  表示, DPDPE + W-7, DPDPE + KN-62 与 DPDPE 组实验数据对比用“Student” t-test 进行计算, 不同程度的 DPDPE 组间实验数据用 LSD 方差分析法作统计处理。 $P < 0.05$

表示有统计学意义。

## 结 果

### 1 DPDPE 长时程作用于 NG108-15 细胞对 cAMP 水平的影响

DPDPE 长时程作用于 NG108-15 细胞, cAMP 显著升高, 加入  $10^{-5} \text{ mol}\cdot\text{L}^{-1}$  纳洛酮作用  $0.5 \text{ h}$  后, cAMP 水平反跳性增高。本实验结果和文献<sup>[6]</sup>报道一致, 此现象是 NG108-15 细胞形成阿片类药物依赖的标志之一(图 1)。

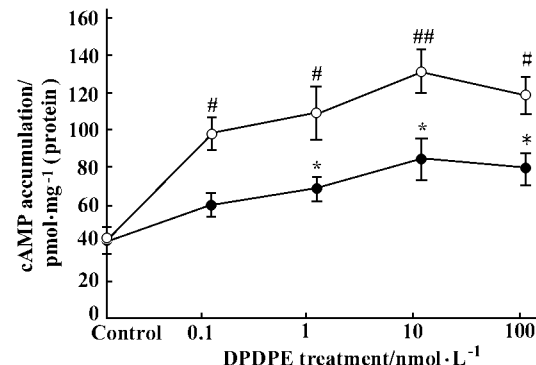


Figure 1 Effects of DPDPE on cAMP accumulation in NG108-15 cells. Cells were incubated in  $0.1 - 100 \text{ nmol}\cdot\text{L}^{-1}$  DPDPE for  $48 \text{ h}$ , then treated with or without naloxone for  $15 \text{ min}$ . cAMP level was measured using  $^3\text{H}$ cAMP binding protein assay

$n = 2$ ,  $\bar{x} \pm s$ . \*  $P < 0.05$ , \*\*  $P < 0.01$  vs control of DPDPE treatment groups; #  $P < 0.05$ , ##  $P < 0.01$  vs control of DPDPE + naloxone treatment groups.

### 2 DPDPE 长时程作用 NG108-15 细胞对 CaM 活性的影响

DPDPE 各用药组长时程作用于 NG108-15 细胞, 细胞浆 CaM 活性显著升高。当加入 CaM 特异性拮抗剂 W-7, CaM 活性和未加 W-7 的各组相比显著降低。而同时加入  $10 \mu\text{mol}\cdot\text{L}^{-1}$  CaMK II 特异性抑制剂 KN-62<sup>[5]</sup>, CaM 活性和未加 KN-62 的各组相比无明显变化(图 2)。

DPDPE 各用药组长时程作用于 NG108-15 细胞, 细胞核 CaM 活性升高。当加入 CaM 特异性拮抗剂 W-7, CaM 活性和未加 W-7 的各组相比显著降低。加入 CaMK II 抑制剂 KN-62, CaM 活性和未加 KN-62 的各组相比无明显变化(图 3)。

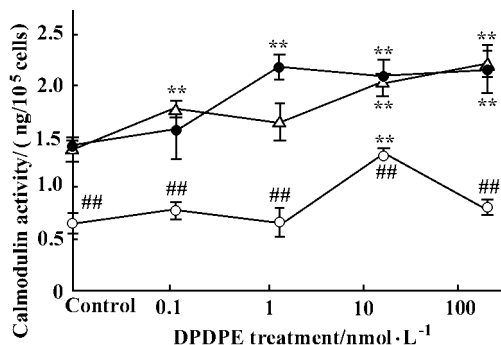


Figure 2 Effects of DPDPE on cytoplasm calmodulin activity in NGI 08-15 cells. Cells were treated with 0.1 - 100 nmol·L<sup>-1</sup> DPDPE, DPDPE and 10 μmol·L<sup>-1</sup> W-7, DPDPE and 10 μmol·L<sup>-1</sup> KN-62 for 48 h  
 $n=4$ ,  $\bar{x} \pm s$ . \*\*  $P < 0.01$  vs control; # #  $P < 0.01$  vs DPDPE group. •—● DPDPE; ○—○ DPDPE + W-7; △—△ DPDPE + KN-62

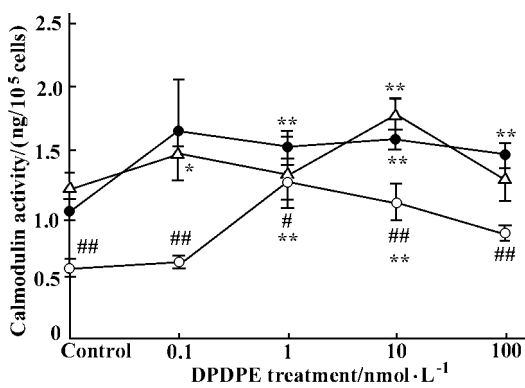


Figure 3 Effect of DPDPE on nuclear calmodulin activity in NGI 08-15 cells. Cells were treated with 0.1 - 100 nmol·L<sup>-1</sup> DPDPE, DPDPE and 10 μmol·L<sup>-1</sup> W-7, DPDPE and 10 μmol·L<sup>-1</sup> KN-62 for 48 h  
 $n=4$ ,  $\bar{x} \pm s$ . \*  $P < 0.05$ , \*\*  $P < 0.01$  vs control; #  $P < 0.05$ , # #  $P < 0.01$  vs DPDPE group. •—● DPDPE; ○—○ DPDPE + W-7; △—△ DPDPE + KN-62

### 3 DPDPE 长时程作用 NG108-15 细胞对 CaMK II 活性的影响

DPDPE 长时程作用于 NG108-15 细胞后, 细胞浆 CaMK II 活性明显升高。当加入 CaM 特异性拮抗剂 W-7, 细胞浆 CaMK II 活性和未加 W-7 的各组相比显著降低。而加入 CaMK II 特异性抑制剂 KN-62, 细胞浆 CaMK II 活性和未加 KN-62 的各组相比也下降, 100 nmol·L<sup>-1</sup> 剂量组差异具有显著性(图 4)。

NG108-15 细胞给予 DPDPE 48 h 后观察各不同处理组, 细胞核 CaMK II 活性明显升高。当加入 CaM 特异性拮抗剂 W-7, 细胞核 CaMK II 活性和未加 W-7 的各组相比显著降低。而加入 CaMK II 抑制剂 KN-62, 细胞核 CaMK II 活性和未加 KN-62 的各组相

比明显降低(图 5)。

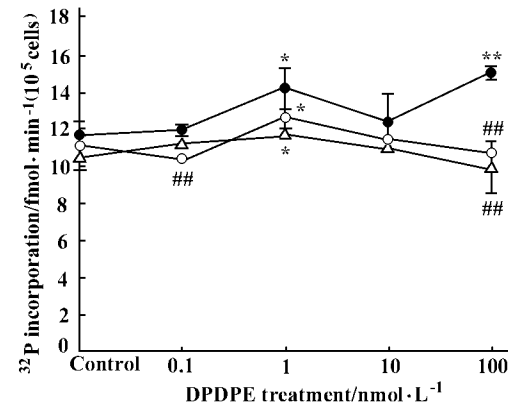


Figure 4 Effect of DPDPE on cytoplasm Ca MK II activity in NGI 08-15 cells. Cells were treated with 0.1 - 100 nmol·L<sup>-1</sup> DPDPE, DPDPE and 10 μmol·L<sup>-1</sup> W-7, DPDPE and 10 μmol·L<sup>-1</sup> KN-62 for 48 h  
 $n=4$ ,  $\bar{x} \pm s$ . \*  $P < 0.05$ , \*\*  $P < 0.01$  vs control; # #  $P < 0.01$  vs DPDPE group. •—● DPDPE; ○—○ DPDPE + W-7; △—△ DPDPE + KN-62

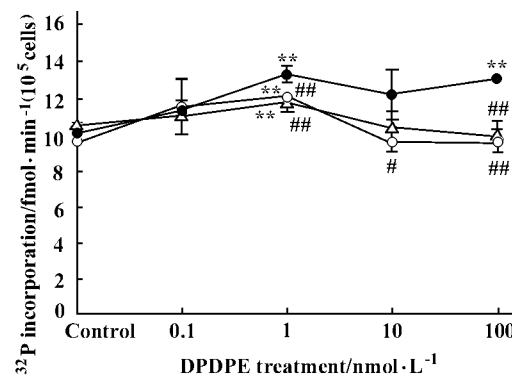


Figure 5 Effect of DPDPE on nuclear Ca MK II activity in NGI 08-15 cells. Cells were treated with 0.1 - 100 nmol·L<sup>-1</sup> DPDPE, DPDPE and 10 μmol·L<sup>-1</sup> W-7, DPDPE and 10 μmol·L<sup>-1</sup> KN-62 for 48 h  
 $n=4$ ,  $\bar{x} \pm s$ . \*\*  $P < 0.01$  vs control; #  $P < 0.05$ , # #  $P < 0.01$  vs DPDPE group. •—● DPDPE; ○—○ DPDPE + W-7; △—△ DPDPE + KN-62

### 4 纳洛酮诱发阿片戒断时对 CaM 及 CaMK II 活性的影响

在 NG108-15 细胞中加入 DPDPE 处理 48 h 之后, 加入纳洛酮 15 min, 收集细胞, 进行 CaM 活性测定, 发现细胞浆和细胞核中 CaM 活性显著增高; 与 DPDPE 处理组相比, 细胞浆和细胞核中 CaM 活性升高, 在高剂量组差异具有显著性(图 6)。

图 7 中, DPDPE 长时程作用于 NG108-15 细胞, 再加入纳洛酮诱发戒断, 细胞浆和细胞核 CaMK II 活性升高; 与 DPDPE 组相比, 差异具有显著性。

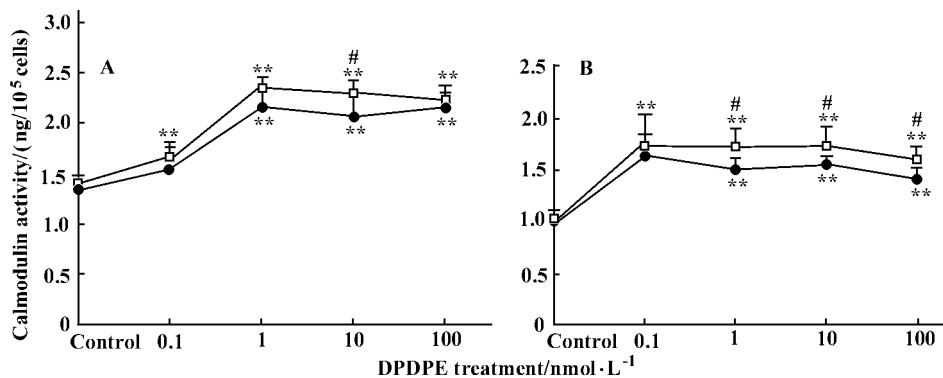


Figure 6 Effect of naloxone withdraw on calmodulin activity in 0.1 - 100 nmol·L⁻¹ DPDPE treatment NGI 08-15 cells. Cells were treated DPDPE for 48 h, added naloxone for 15 min  
A. Calmodulin activity in cytoplasm, B. Calmodulin activity in nucleus.  $n = 4$ ,  $\bar{x} \pm s$ . \*  $P < 0.05$ , \*\*  $P < 0.01$  vs control; #  $P < 0.05$ , DPDPE groups vs DPDPE + naloxone groups. ●—● DPDPE; □—□ DPDPE + naloxone

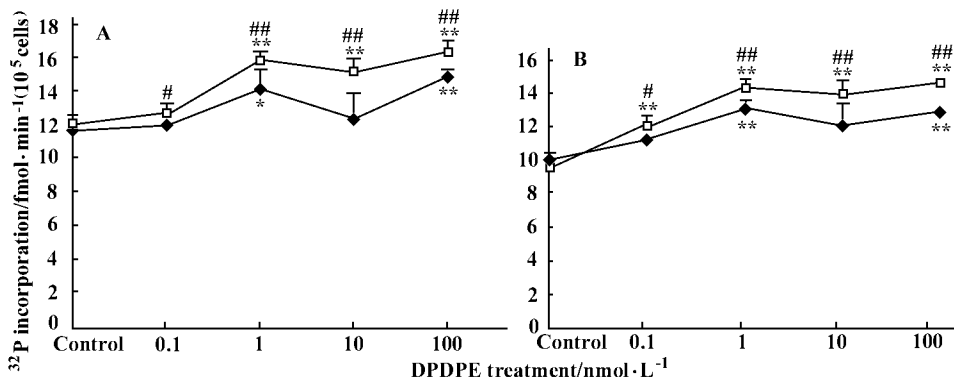


Figure 7 Effect of naloxone withdraw on CaMK II activity in 0.1 - 100 nmol·L⁻¹ DPDPE treatment NGI 08-15 cells. Cells were treated DPDPE for 48 h, and added naloxone for 15 min  
CaMK II activity in cytoplasm, B. CaMK II activity in nucleus.  $n = 4$ ,  $\bar{x} \pm s$ . \*  $P < 0.05$ , \*\*  $P < 0.01$  vs control; #  $P < 0.05$ , # #  $P < 0.01$  DPDPE groups vs DPDPE + naloxone groups. ◆—◆ DPDPE; □—□ DPDPE + naloxone

## 讨 论

在本实验中,首先观察 DPDPE 作用于 NGI 08-15 细胞对 cAMP 水平的影响。DPDPE 长时程作用 NGI 08-15 细胞(即 48 h)后,cAMP 水平明显升高;加入纳洛酮后,可测得细胞 cAMP 反跳性升高,是 NGI 08-15 细胞形成阿片依赖的标志,因此 DPDPE 长时程作用的 NGI 08-15 细胞可作为体外阿片依赖的细胞模型。利用这些细胞可进行  $\text{Ca}^{2+}$ /CaMK II 信号通路的研究。

本研究发现 DPDPE 长时程作用引起 NGI 08-15 细胞中细胞浆和细胞核 CaM 活性和 CaMK II 活性升高,此时,加入纳洛酮诱发阿片的戒断症状,CaM 活性和 CaMK II 活性进一步升高。提示 DPDPE 长时程作用于 NGI 08-15 细胞, $\text{Ca}^{2+}$ /CaMK II 信息通路活性

上调。CaM 拮抗剂 W-7 可抑制 CaM 活性和 CaMK II 活性的增高,CaMK 抑制剂 KN-62 可抑制细胞浆和细胞核 CaMK II 活性增高,而对 CaM 活性无影响,证明  $\text{Ca}^{2+}$ /CaMK II 信息通路参与了阿片依赖的机制。

本室以前对于阿片依赖时细胞内 AC-cAMP 通路、NO-cGMP 通路以及  $[\text{Ca}^{2+}]_i$  系统的变化进行了深入的探讨<sup>[6]</sup>,本研究在以往的工作基础上,观察 DPDPE 长时程作用引起 NGI 08-15 细胞细胞浆和细胞核  $\text{Ca}^{2+}$ /CaMK II 信息通路的变化,企图揭示阿片依赖时,细胞核内细胞信号转导的机制。在本实验中,DPDPE 长时程作用 NGI 08-15 细胞,细胞核内 CaM 活性和 CaMK II 活性增高。药物的长时程作用可能影响基因的转录和相关蛋白翻译后修饰。文献报道 CaMK II 可磷酸化 cAMP 反应元件结合蛋白(CREB)<sup>[7]</sup>,CREB 参与了阿片成瘾过程<sup>[8]</sup>;有报道

CaMK II 也参与了阿片受体脱敏这种动物阿片类依赖的细胞机制<sup>[9]</sup>;在 NG108-15 细胞中,阿片类药物通过  $\delta$  阿片受体刺激细胞内 CREB 的磷酸化,有  $\text{Ca}^{2+}/\text{CaM}$  和 PKC 通路的参与<sup>[10]</sup>。在该实验中,阿片类药物长时程作用引起细胞核内 CaM 活性和 CaMK II 活性增高,推测在阿片类依赖时,  $\text{Ca}^{2+}/\text{CaMK II}$  通路活性增高可能通过影响转录因子参与阿片类依赖机制。

#### REFERENCES:

- [1] Fan GH, Zhang WB, Yao CP, et al. Modulation by Calcium/cal modulin dependent protein kinase II of functional response of delta opioid receptor in neuroblastoma  $\times$  glioma hybrid (NG108-15) cells [J]. *Neuropharmacology*, 1997, 36: 1763 - 1769.
- [2] Liu JS, Liu Y, Chin YC. Preparation and assay of calmodulin [J]. *Acta Acad Med Sin (in Chinese)*, 1985, 7: 453 - 458.
- [3] Kirchhefer U, Schmitz W, Scholz H, et al. Activity of cAMP-dependent protein kinase and  $\text{Ca}^{2+}/\text{calmodulin}$ -dependent protein kinase in failing and nonfailing human hearts [J]. *Cardiovasc Res*, 1999, 42: 254 - 261.
- [4] Mazur A, Roden DM, Anderson ME. Systemic administration of calmodulin antagonist W-7 or protein kinase A inhibitor H-8 prevents torsade de pointes in rabbits [J]. *Circulation*, 1999, 100: 2437 - 2442.
- [5] Wei J, Wayman G, and Storm DR. Phosphorylation and inhibition of type III adenylyl cyclase by calmodulin-dependent protein kinase II *in vivo* [J]. *J Biol Chem*, 1996, 271: 24231 - 24235.
- [6] Zang MW, Meng AM, Shen Q, et al. Blockage of the development of opioid tolerance and dependence by methylene blue [J]. *Acta Pharm Sin (in Chinese)*, 1999, 34(8): 576 - 581.
- [7] Matthews RP, Guthrie CR, Wailes LM, et al. Calcium/cal modulin dependent protein kinase II and IV differently regulate CREB-dependent gene expression [J]. *Mol Cell Biol*, 1994, 14: 6107 - 6116.
- [8] Lane-Ladd SB, Pineda J, Boundy VA, et al. CREB (cAMP response element binding protein) in the locus coeruleus: Biochemical, physiological, and behavioral evidence for a role in opiate dependence [J]. *J Neurosci*, 1997, 17: 7890 - 7901.
- [9] Lou L, Zhou T, Wang P, et al. Modulation by calcium/cal modulin dependent protein kinase II activity by acute and chronic morphine administration in rat hippocampus: differential regulation of alpha and beta isoforms [J]. *Mol Pharmacol*, 1999, 55: 557 - 563.
- [10] Bilecki W, Holt V, Przewlocki R. Acute delta-opioid receptor activation induces CREB phosphorylation in NG108-15 cells [J]. *Eur J Pharmacol*, 2000, 390(1): 1 - 6.
- [11] Badminton MN, Kendall JM, Rembold CM, et al. Current evidence suggests independent regulation of nuclear calcium [J]. *Cell Calcium*, 1998, 23(2/3): 79 - 86.

## EFFECTS OF OPIOIDS ON $\text{Ca}^{2+}$ / CALMODULIN DEPENDENT PROTEIN KINASE SIGNAL PATHWAY IN NG108-15 CELLS

GUO Qing-min, LIU Jing-sheng

(Department of Pharmacology, Institute of Basic Medical Sciences, Chinese Academy of Medical Sciences and Peking Union Medical College, Beijing 100005, China)

**ABSTRACT:** AIM To observe the change of  $\text{Ca}^{2+}$ /calmodulin dependent protein kinase II (CaMK II) signal pathway in opioid dependent NG108-15 cells. METHODS NG108-15 cells were used as an *in vitro* model system. Competitive protein binding assay and radioimmunoassay were used to examine the intracellular cAMP accumulation. Calmodulin activity was assayed by PDE method. CaMK II activity was assayed by  $\gamma^{32}\text{P}$  incorporation of syntide-2. RESULTS DPDPE long-term treatment increased calmodulin activity and CaMK II activity in both cytoplasm and nucleus of NG108-15 cells. Specific calmodulin antagonist W7 was found to significantly inhibit the elevation of calmodulin and CaMK II activity which resulted from DPDPE long-term treatment, and CaMK II inhibitor KN62 also inhibited elevation of CaMK II activity by DPDPE long-term treatment. When naloxone was added to NG108-15 cells which were long-term treated by DPDPE, calmodulin and CaMK II activity increased, indicating that naloxone withdrawal can increase  $\text{Ca}^{2+}/\text{CaMK II}$  pathway activity. CONCLUSION The results indicate that  $\text{Ca}^{2+}/\text{CaMK II}$  pathway was involved in the mechanisms of opioids dependence when DPDPE was long-term administered to NG108-15 cells.

**KEY WORDS:** opioids; calmodulin; calmodulin dependent protein kinase II